

Представляет интерес сравнить результаты работы с опытными данными. Известно [5], что сила вязкого сопротивления взвешенного слоя в области малых чисел Рейнольдса удовлетворительно описывается соотношением вида (7), в котором вместо $1 + \frac{5}{3}M$ стоит величина $\Psi = (1 - \rho)^{-3.75}$. Результаты численного расчета функций $\varphi = 1 + \frac{5}{3}M$ с ξ , вычисленной из (4) при $k \approx 1.1$, и ψ представлены на фигуре (кривые 1 и 2 соответственно). Видно, что соответствие между экспериментальными данными и развитой теорией весьма хорошее. На этой же фигуре показана функция $1 + 2N$ (кривая 3). Из сравнения кривых 1 и 3 следует интересный вывод, что различие между силами вязкого взаимодействия твердой и газообразной диспергированных фаз с жидкостью в концентрированных дисперсных системах оказывается значительно более сильным, чем различие в силах Стокса, действующих на изолированные пузырек и твердую частицу одинаковых размеров.

Поступила 29 I 1966

ЛИТЕРАТУРА

- Simha R. Treatment of the Viscosity of Concentrated Suspensions. *J. Appl. Phys.*, 1952, vol. 23, No. 9, p. 1020.
- Happel J. Viscous Flow in Multiparticle Systems: Slow Motion of Fluids Relative to Beds of Spherical Particles. *A. I. Chem. Engng. J.*, 1958, vol. 4 p. 197.
- Adler I. L., Happel J. The Fluidization of Uniform Smooth Spheres in Liquid Media. *Chem. Engng. Progr. Sympos. Series*, 1962, vol. 58, No. 38, p. 98.
- Ландау Л. Д., Лифшиц Е. М. Механика сплошных сред. Гостехиздат, 1954.
- Горощко В. Д., Розенбаум Р. Б., Тодес О. М. Приближенные закономерности гидравлики псевдоожженного слоя. Изв. высш. учебн. завед., Нефть и газ, 1958, т. 1, № 1, стр. 125.

РЕШЕНИЕ ОДНОЙ ОБРАТНОЙ ЗАДАЧИ КАВИТАЦИОННОГО ОБТЕКАНИЯ КРИВОЛИНЕЙНОЙ ДУГИ

Л. И. Мальцев (Новосибирск)

Рассматривается задача о построении кавитационного обтекания криволинейной дуги по схеме Рябушинского по заданному распределению скорости. Впервые обратная задача была поставлена и решена для случая отрывного обтекания по схеме Кирхгоффа в безграничном потоке Г. Г. Тумашевым [1], а Г. Н. Пыхтеевым [2] — для дуги в канале. Им же решена обратная задача обтекания дуги по схеме Гильберга — Эфроса [3].

1. Рассмотрим кавитационное обтекание симметричной криволинейной дуги L плоским потоком идеальной несжимаемой жидкости по схеме Рябушинского с зеркалом, изображенной на фиг. 1.

Буквами $V_\infty, V_0, 2S_0, \Phi_0$ обозначим соответственно величину скорости невозмущенного потока, величину скорости на свободных струях, длину обтекаемой дуги L , значение потенциала скорости в точках отрыва.

Пусть на обтекаемой дуге задано распределение модуля скорости в виде функции дуговой абсциссы

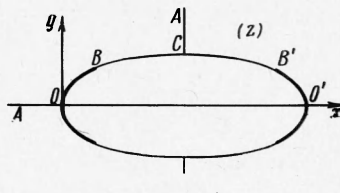
$$V = V_0 f(s) \quad (s = S / S_0, \quad 0 \leq s \leq 1)$$

Функция $f(s)$ предполагается однозначной, положительной, удовлетворяющей условию Гельдера и условиям $f(0) = 0, f(1) = 1$.

Требуется построить форму контура L и форму свободных струй, а также найти сопротивление дуги. В силу симметрии будем рассматривать течение только во второй четверти физической плоскости z .

2. Комплексный потенциал скорости $W = \varphi + i\psi$ в точке C , а также функцию тока φ на линии тока $AOB'C'O'A$ примем равными нулю. Тогда область изменения W будет представлять собой вторую четверть плоскости. Функция $W(\zeta)$, отображающая область изменения W на первую четверть вспомогательного переменного $\zeta = \xi + i\eta$ с соответствием точек, указанным на фиг. 1, 2, 3, легко найдется

$$W(\zeta) = -\frac{\Phi_0 \sqrt{1 + a^2}}{\sqrt{\zeta^2 + a^2}} \quad (2.1)$$

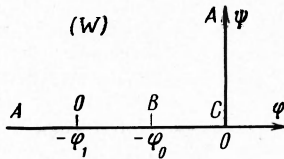


Фиг. 1

На дуге L

$$\varphi = -\varphi_1 + V_0 S_0 \int_0^s f(s) ds, \quad \varphi_1 = \frac{\varphi_0 \sqrt{1+a^2}}{a} \quad (2.2)$$

Из (2.1) и (2.2) находим зависимость $S(\xi)$, устанавливающую соответствие между точками дуги L и точками отрезка $[-1, 1]$ оси ξ плоскости ζ



Фиг. 2

$$-\frac{\varphi_0 \sqrt{1+a^2}}{\sqrt{a^2+\xi^2}} = -\varphi_1 + V_0 S_0 \int_0^s f(s) ds \quad (2.3)$$

Введем функцию Жуковского

$$F(\xi) = \ln \left(\frac{1}{V_0} \frac{dW}{dz} \right) = \ln \frac{V}{V_0} - i\vartheta \quad (2.4)$$

На мнимой оси η плоскости ζ функция $F(\xi)$ действительна и непрерывна. Продолжаем ее на всю верхнюю полуплоскость. Теперь $F(\xi)$ определена и аналитична во всей верхней полуплоскости и удовлетворяет следующим краевым условиям:

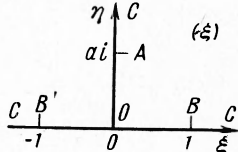
$$\operatorname{Re} F(\xi) = \begin{cases} 0 & \text{для } |\xi| > 1 \\ \ln f & \text{для } |\xi| \leq 1 \end{cases}$$

Как известно, задачу восстановления функции, аналитической в верхней полуплоскости, по ее действительной части, заданной на действительной оси, решает интеграл типа Коши (см., например, [4])

$$F(\xi) = \frac{1}{\pi i} \int_{-1}^1 \frac{\ln f(t)}{t - \xi} dt \quad (2.5)$$

Функция $z(\xi)$ теперь определяется из соотношений (2.1), (2.4) и (2.5)

$$z(\xi) = \sqrt{1+a^2} \frac{\Phi_0}{V_0} \int \frac{\xi}{(\xi^2 + a^2)^{3/2}} \exp [-F(\xi)] d\xi + \text{const} \quad (2.6)$$



Фиг. 3

Отделяя в (2.6) действительную и мнимую части и переходя к пределу при $\xi \rightarrow \xi$, получим:

уравнение контура

$$\begin{aligned} x &= \frac{\varphi_0 \sqrt{1+a^2}}{V_0} \int_0^\xi \frac{\xi}{f[s(\xi)] (\xi^2 + a^2)^{3/2}} \cos I(\xi) d\xi \\ y &= \frac{\varphi_0 \sqrt{1+a^2}}{V_0} \int_0^\xi \frac{\xi}{f[s(\xi)] (\xi^2 + a^2)^{3/2}} \sin I(\xi) d\xi \\ (I(\xi)) &= \frac{1}{\pi} \int_{-1}^1 \frac{\ln f}{t - \xi} dt, \quad |\xi| \leq 1 \end{aligned} \quad (2.7)$$

уравнение струй

$$\begin{aligned} x &= x_0 + \frac{\varphi_0 \sqrt{1+a^2}}{V_0} \int_1^\xi \frac{\xi}{(\xi^2 + a^2)^{3/2}} \cos \Phi(\xi) d\xi \\ y &= y_0 + \frac{\varphi_0 \sqrt{1+a^2}}{V_0} \int_1^\xi \frac{\xi}{(\xi^2 + a^2)^{3/2}} \sin \Phi(\xi) d\xi \\ (\Phi(\xi)) &= \frac{1}{\pi} \int_{-1}^1 \frac{\ln f}{t - \xi} dt, \quad |\xi| \geq 1 \end{aligned} \quad (2.8)$$

Здесь x_0, y_0 — координаты точки отрыва струи.

3. Займемся теперь определением параметров, вошедших в решение. От решения задачи необходимо потребовать выполнения следующих условий:

$$\left(\frac{dW}{dz} \right)_{\zeta=a} = V_\infty, \quad [\Phi(s)]_{s=1} = -\Phi_0$$

Можно показать, что они преобразуются к виду

$$\ln \frac{V_\infty}{V_0} = G(a) \quad (3.1)$$

Здесь

$$G(a) = \frac{a}{\pi} \int_{-1}^1 \frac{\ln f}{t^2 + a^2} dt, \quad -\Phi_0 = -\Phi_1 + V_0 S_0 \int_0^1 f(s) ds \quad (3.2)$$

Эти равенства являются уравнениями для определения параметров a и Φ_0 по заданному числу кавитации $Q = V_0^2 / V_\infty^2 - 1$ и заданной длине дуги S_0 .

4. Используя интеграл Бернулли, выражение для сопротивления дуги можно записать в виде

$$R = \rho V_0^2 S_0 \int_0^1 [1 - f^2(s)] \sin \vartheta(s) ds$$

или, переходя к переменной ξ от s ,

$$R = \rho V_0^2 S_0 \int_0^1 \frac{1 - f^2[S(\xi)]}{f[S(\xi)]} \frac{\xi}{(\xi^2 + a^2)^{3/2}} \sin I(\xi) d\xi \quad (4.1)$$

5. Рассмотрим частный случай. Пусть функция $f(s)$ имеет вид

$$f(s) = \frac{As}{\sqrt{B^2 - s^2}} \quad (A, B = \text{const})$$

Подставляя это выражение в (2.3) и (3.2), получим

$$\begin{aligned} -\frac{\Phi_0 \sqrt{1+a^2}}{\sqrt{\xi^2 + a^2}} &= -\frac{\Phi_0 \sqrt{1+a^2}}{a} + V_0 S_0 \cdot A (B - \sqrt{B^2 - s^2}) \\ -\Phi_0 &= \frac{a V_0 S_0}{\sqrt{1+a^2-a}} A (B - \sqrt{B^2-1}) \end{aligned}$$

Пусть $A = a$, $B = \sqrt{1+a^2}$. Тогда

$$\Phi_0 = a^2 V_0 S_0, \quad s(\xi) = \frac{\xi \sqrt{1+a^2}}{\sqrt{a^2 + \xi^2}}, \quad f[s(\xi)] = \xi \quad (5.1)$$

Значения интегралов $J(\xi)$, $\Phi(\xi)$, $G(a)$ найдены в работе [3]

$$I(\xi) = \frac{\pi}{2} - \frac{\pi}{4} N(\xi), \quad \Phi(\xi) = \frac{1}{2} \arcsin \frac{1}{\xi} + \frac{\pi}{4} N\left(\frac{1}{\xi}\right) \quad (5.2)$$

$$G(a) = \frac{1}{2} \ln \frac{\sqrt{1+a^2-1}}{2a} + \frac{1}{\pi} \left(\arctg \frac{1}{a} \right) \ln a + \frac{1}{\pi} L \left\{ \arctg \frac{1}{a} \right\} + \frac{1}{\pi} L(\arctg a) \quad (5.3)$$

$$N(\tau) = \frac{2}{\pi^2} \int_0^\tau \frac{1}{\tau} \ln \frac{1+\tau}{1-\tau} d\tau, \quad L(\tau) = - \int_0^\tau \ln \cos \tau d\tau \quad (5.4)$$

Подставляя (5.1) в (2.7) и (4.1) и (5.2) в (2.8), получим:
уравнение контура

$$\begin{aligned} x &= a^2 \sqrt{1+a^2} S_0 \int_0^{\xi} \frac{1}{(a^2 + \xi^2)^{3/2}} \sin \left[\frac{\pi}{4} N(\xi) \right] d\xi \\ y &= a^2 \sqrt{1+a^2} S_0 \int_0^{\xi} \frac{1}{(a^2 + \xi^2)^{3/2}} \cos \left[\frac{\pi}{4} N(\xi) \right] d\xi, \quad |\xi| \leq 1 \end{aligned}$$

уравнение струи

$$x = x_0 + a^2 \sqrt{1+a^2} S_0 \int_1^\xi \frac{\xi}{(a^2+\xi^2)^{3/2}} \cos \left[\frac{1}{2} \arcsin \frac{1}{\xi} + \frac{\pi}{4} N \left(\frac{1}{\xi} \right) \right] d\xi$$

$$y = y_0 + a^2 \sqrt{1+a^2} S_0 \int_1^\xi \frac{\xi}{(a^2+\xi^2)^{3/2}} \sin \left[\frac{1}{2} \arcsin \frac{1}{\xi} + \frac{\pi}{4} N \left(\frac{1}{\xi} \right) \right] d\xi \quad |\xi| \geq 1$$

сопротивление дуги

$$R := \rho V_0^2 S_0 a^2 \sqrt{1+a^2} \int_0^1 \frac{1-\xi^2}{(a^2+\xi^2)^{3/2}} \cos \left[\frac{\pi}{4} N(\xi) \right] d\xi$$

Имея в виду (5.4), уравнение (3.1) перепишется

$$\ln \frac{V_\infty}{V_0} = \frac{1}{2} \ln \frac{\sqrt{1+a^2}-1}{2a} + \frac{1}{\pi} \left(\operatorname{arc tg} \frac{1}{a} \right) \ln a + \frac{1}{\pi} L \left(\operatorname{arc tg} \frac{1}{a} \right) + \frac{1}{\pi} L(\operatorname{arctg} a)$$

Длина и ширина каверны найдутся соответственно по формулам

$$l = 2 \left\{ x_0 + a^2 \sqrt{1+a^2} S_0 \int_1^\infty \frac{\xi}{(a^2+\xi^2)^{3/2}} \cos \left[\frac{1}{2} \arcsin \frac{1}{\xi} + \frac{\pi}{4} N \left(\frac{1}{\xi} \right) \right] d\xi \right\}$$

$$h = 2 \left\{ y_0 + a^2 \sqrt{1+a^2} S_0 \int_1^\infty \frac{\xi}{(a^2+\xi^2)^{3/2}} \sin \left[\frac{1}{2} \arcsin \frac{1}{\xi} + \frac{\pi}{4} N \left(\frac{1}{\xi} \right) \right] d\xi \right\}$$

На фиг. 4 приведен график зависимости числа кавитации Q от параметра a .

6. Зависимость скорости от дуги будем теперь задавать в параметрической форме

$$V = V_0 F_1(u), \quad S = S_0 F_2(u)$$

где $F_1(u)$ и $F_2(u)$ — однозначные положительные функции $u \in [u_1, u_2]$, удовлетворяющие условию Гельдера и условиям

$$F_1(u_1) = F_2(u_1) = 0, \quad F_1(u_2) = F_2(u_2) = 1$$

Данную задачу можно свести к предыдущей таким образом:

$$f(s) = f[s(\xi)] = F_1[u(\xi)]$$

Зависимость $u(\xi)$ находится из уравнения

$$-\frac{\Phi_0 \sqrt{1+a^2}}{\sqrt{\xi^2+a^2}} = -\Phi_1 + V_0 S_0 \int_{u_1}^u F_1(u) F_2'(u) du \quad (6.1)$$

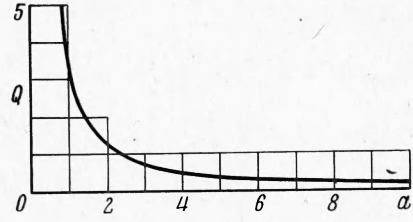
Равенство для нахождения Φ_0 перепишется

$$\Phi_0 = -\Phi_1 + V_0 S_0 \int_{u_1}^{u_2} F_1(u) F_2'(u) du \quad (6.2)$$

Пусть, например,

$$F_1(u) = \left(\frac{1-u}{1+u} \right)^{1/2}, \quad F_2(u) = -\frac{1}{A} \int_1^u \frac{(u+1) u du}{(u^2+\beta^2)^{3/2} \sqrt{1-u^2}}$$

$$(A = \int_0^1 \frac{(u+1) u du}{(u^2+\beta^2)^{3/2} \sqrt{1-u^2}}, \alpha, m, \beta = \text{const})$$



Фиг. 4

Подставляя выражение для $F_1(u)$ и $F_2(u)$ в формулы (6.1) и (6.2), получим соответственно равенства для нахождения зависимости $u(\xi)$ и Φ_0

$$\frac{\Phi_0 \sqrt{1+a^2}}{\sqrt{\xi^2+a^2}} = \frac{\Phi_0 \sqrt{1+a^2}}{a} + \frac{2V_0 S_0}{A} \left(\frac{1}{\sqrt{\beta^2-u^2}} - \frac{1}{\sqrt{\beta^2-1}} \right)$$

$$\Phi_0 \left(1 - \frac{\sqrt{1+a^2}}{a} \right) = \frac{2V_0 S_0}{A} \left(\frac{1}{\beta} - \frac{1}{\sqrt{\beta^2-1}} \right)$$

Положим $\beta = \sqrt{1+a^2}$. Тогда

$$\Phi_0 = \frac{2V_0 S_0}{A \sqrt{1+a^2}}, \quad u(\xi) = \sqrt{1-\xi^2}, \quad f[s(\xi)] = \left(\frac{1-\sqrt{1-\xi^2}}{1+\sqrt{1-\xi^2}} \right)^{1/2}$$

Выпишем значения интегралов [3] $I(\xi)$ и $\Phi(\xi)$ в этом случае

$$I(\xi) = \frac{1}{2}\pi (\operatorname{sign} \xi), \quad \Phi(\xi) = 2 \arctan \left(\xi - \sqrt{\xi^2-1} \right) \quad (6.3)$$

Подставляя (6.3) в (2.7), получим уравнение контура

$$x=0, \quad y = \frac{\Phi_0 \sqrt{1+a^2}}{V_0} \int_0^\xi \frac{1+\sqrt{1-\xi^2}}{(\xi^2+a^2)^{1/2}} d\xi$$

Таким образом, получилось обтекание пластинки, поставленной нормально к потоку.

Уравнение струи и сопротивление контура найдутся соответственно по формулам (2.8) и (4.1). Вычисляя значение $G(a)$ для данного случая и подставляя его в формулу (3.1), получим уравнение для определения параметра a .

За советы, полученные при решении задачи, автор благодарит Г.Н. Пыхтеева.

Поступила 26 XI 1965

ЛИТЕРАТУРА

- Тумашев Г. Г. Определение формы границ потока жидкости по заданному распределению скорости или давления. Уч. зап. Казанск. ун-та, 1952, т. 112, кн. 3.
- Пыхтеев Г. Н. К задаче о струйном обтекании криволинейной дуги в ограниченном и безграничном потоке несжимаемой жидкости. ПММ, 1955, т. 19, вып. 4.
- Пыхтеев Г. Н. Решение обратной задачи плоского кавитационного обтекания криволинейной дуги. ПММ, 1956, т. 20, вып. 3.
- Гахов Ф. Д. Краевые задачи. Физматгиз, 1963.

КОЭФФИЦИЕНТ ПРИСОЕДИНЕННОЙ МАССЫ ПРИ ГОРИЗОНТАЛЬНОМ ГИДРОДИНАМИЧЕСКОМ УДАРЕ ПЛАВАЮЩЕЙ СФЕРЫ

С. Е. Евдокимов, В. Л. Рвачев

(Харьков)

Конкретная пространственная задача о горизонтальном гидродинамическом ударе плавающего тела впервые рассматривалась Э. Л. Блохом [1], которым получено решение для случая наполовину погруженной в несжимаемую жидкость сферы. В. И. Москаковским и В. Л. Рвачевым [2] решение этой же задачи получено в замкнутой форме.

Ниже результаты работ [1, 2] обобщаются на случай произвольной глубины погружения. Как и в [1, 2], считается, что отрыва жидкости от смоченной поверхности сферы нет.

§ 1. Пусть в идеальной жидкости, заполняющей полупространство $z \geq 0$, плавает сфера единичного радиуса $x^2 + y^2 + (z-h)^2 = 1$. В результате внезапно приложенной импульсивной силы сфера, вначале неподвижная, приходит в поступательное движение вдоль оси x со скоростью U_0 . Тогда [3], при отсутствии массовых импульсивных сил, движение жидкости после удара потенциально, и потенциал скоростей φ^* есть гармоническая функция, связанная с импульсивным давлением p_t соотношением $p_t = -\rho\varphi^*$, где ρ — плотность жидкости